

УДК 533.6.011

## ОБТЕКАНИЕ ПРОФИЛЯ ЗАДАННОЙ ФОРМЫ В ГАЗЕ ЧАПЛЫГИНА

*Е.М. Комляр, Д.В. Маклаков*

### Аннотация

Решена задача о безотрывном обтекании профиля заданной формы дозвуковым потоком газа. Задача сведена к нелинейному интегральному уравнению типа уравнения Вилла, которое после дискретизации решено численно методом Ньютона. Показано, что распределения скоростей, рассчитанные по модели газа Чаплыгина, по формуле Кармана–Дзяня и с помощью CFD пакета Fluent, в дозвуковом диапазоне чисел Маха очень близки.

**Ключевые слова:** дозвуковые течения, уравнения Чаплыгина, газ Чаплыгина, уравнение Вилла, дискретизация, метод Ньютона.

### Введение

Один из приближенных методов учета сжимаемости базируется на линейных уравнениях газовой динамики, записанных в плоскости годографа скорости – уравнениях Чаплыгина [1]:

$$\begin{cases} \frac{1}{\lambda} \frac{\partial \varphi}{\partial \theta} = \frac{1}{\bar{\rho}} \frac{\partial \psi}{\partial \lambda}, \\ \frac{1}{\lambda} \frac{\partial \varphi}{\partial \lambda} = \frac{d}{d\lambda} \left( \frac{1}{\bar{\rho} \lambda} \right) \frac{\partial \psi}{\partial \theta}, \end{cases} \quad (1)$$

где  $\varphi$  – потенциал течения,  $\psi$  – функция тока,  $\lambda$  и  $\theta$  – модуль и угол наклона вектора приведенной скорости (скорости, отнесенной к критической скорости звука  $a^*$ ),  $\bar{\rho}$  – безразмерная плотность, отнесенная к плотности  $\rho_0$  в точке торможения потока. При этом если  $\lambda_x$  и  $\lambda_y$  – компоненты вектора скорости  $\vec{\lambda}$ , то

$$\lambda_x = \frac{\partial \varphi}{\partial x}, \quad \lambda_y = \frac{\partial \varphi}{\partial y}, \quad \lambda_x = \frac{1}{\bar{\rho}} \frac{\partial \psi}{\partial y}, \quad \lambda_y = -\frac{1}{\bar{\rho}} \frac{\partial \psi}{\partial x}. \quad (2)$$

Уравнения (1) являются следствием соотношения

$$dz = \left( \frac{d\varphi}{\lambda} + i \frac{d\psi}{\bar{\rho} \lambda} \right) e^{i\theta},$$

которое вытекает из равенств (2).

С.А. Чаплыгин [1] предложил два метода решения системы (1): точный и приближенный. Точный метод может быть применен к достаточно широкому классу задач о течениях сжимаемой жидкости, ограниченных свободными поверхностями и полигональными твердыми стенками. Обзор работ, выполненных в этом направлении, можно найти в монографиях [2, 3].

Приближенный метод Чаплыгина применим при решении как прямых, так и обратных задач теории аэродинамики. Решение и условия разрешимости обратной

задачи в приближении газа Чаплыгина даны Г.Г. Тумашевым [4, 5] (см. также [6]), Вудсом ([7, п. 6]).

Прямые задачи, когда форма профиля задается, являются более сложными, чем обратные. Здесь явного аналитического представления решения получить не удастся, либо строится приближенное аналитическое решение [8], либо предлагаются итерационная процедура, сходимость которой исследовать весьма затруднительно. В частности, такая процедура представлена в [9], но авторы ограничились расчетом только симметричного профиля NACA 0012.

В настоящей работе, используя приближенный метод Чаплыгина, мы сводим решение задачи об обтекании произвольного профиля дозвуковым потоком газа к нелинейному уравнению типа уравнения Вилла [2]. После дискретизации это уравнение решается методом Ньютона. Численные эксперименты показали, что метод сходится для профилей любой формы всего за несколько итераций. Полученные распределения скоростей сравнивались с распределениями, найденными в CFD пакете Fluent, а также с хорошо известной формулой Кармана–Дзяна [8]. Установлено, что в дозвуковом диапазоне чисел Маха все три подхода дают весьма близкие результаты.

### 1. Модель газа Чаплыгина

Приближенный метод С.А. Чаплыгина состоит в аппроксимации адиабатической зависимости

$$\bar{p} = \bar{\rho}^\kappa \quad (3)$$

в плоскости  $(1/\bar{\rho}, \bar{p})$  прямой линией: вместо (3) используется уравнение

$$\bar{p} = -\frac{A}{\bar{\rho}} + B, \quad (4)$$

где  $\kappa$  – показатель адиабаты (для воздуха  $\kappa = 1.4$ ),  $\bar{p} = p/p_0$ ,  $\bar{\rho} = \rho/\rho_0$  – безразмерные давление и плотность, отнесенные к давлению  $p_0$  и плотности  $\rho_0$  в точке торможения потока,  $A > 0$  и  $B$  – постоянные. Газ, в котором связь между давлением и плотностью задается уравнением (4), называют газом Чаплыгина.

Уравнение Бернулли

$$\frac{V^2}{2} + \int_{p_0}^p \frac{dp}{\rho} = 0,$$

где  $V$  – скорость, с учетом равенств

$$a_0^2 = \frac{\kappa p_0}{\rho_0}, \quad \frac{a_0^2}{a_*^2} = \frac{\kappa + 1}{2}$$

( $a_0$  – скорость звука в точке торможения,  $a_*$  – критическая скорость звука) приводится к виду

$$\lambda^2 + \frac{\kappa + 1}{\kappa} \int_1^{\bar{p}} \frac{1}{\bar{\rho}} \frac{d\bar{p}}{d\bar{\rho}} d\bar{\rho} = 0. \quad (5)$$

Подставив (4) в (5), после интегрирования получим

$$\bar{\rho} = \frac{1}{\sqrt{1 + 4c^2\lambda^2}}, \quad c^2 = \frac{\kappa}{2A(\kappa + 1)} > 0, \quad (6)$$

причем результат интегрирования не зависит от величины параметра  $B$ . Если теперь подставить (6) в систему (1) и сделать замену

$$\lambda(S) = \frac{\exp(S)}{1 - c^2 \exp(2S)}, \quad (7)$$

то вместо (1) получим условия Коши–Римана

$$\frac{\partial \varphi}{\partial \theta} = \frac{\partial \psi}{\partial S}, \quad \frac{\partial \varphi}{\partial S} = -\frac{\partial \psi}{\partial \theta}. \quad (8)$$

При этом комплексный потенциал  $w = \varphi + i\psi$  будет аналитической функцией переменной  $\chi = S - i\theta$ . Переход в физическую плоскость осуществляется по формуле

$$dz = \exp(-\chi) dw - c^2 \overline{\exp(\chi) dw} \quad (9)$$

(чертак означает комплексное сопряжение), которая следует из (2).

Введем новую комплексную переменную  $z_1 = x_1 + iy_1$ , связанную с  $w$  и  $\chi$  соотношением  $dz_1 = \exp(-\chi) dw$ . Область изменения этой переменной называют областью фиктивного течения несжимаемой жидкости. Тогда  $dw/dz_1 = \exp \chi$  – комплексно-сопряженная скорость фиктивного течения,  $\Lambda = \exp S$  – модуль этой скорости. Из формул (6) и (7) найдем

$$\lambda = \frac{\Lambda}{1 - c^2 \Lambda^2}, \quad \Lambda = \frac{2\lambda}{1 + \sqrt{1 + 4c^2 \lambda^2}}, \quad \bar{\rho} = \frac{1 - c^2 \Lambda^2}{1 + c^2 \Lambda^2}. \quad (10)$$

Предположим теперь, что каким-то способом построена область течения несжимаемой жидкости со скоростью на бесконечности

$$\Lambda_\infty = \frac{2\lambda_\infty}{1 + \sqrt{1 + 4c^2 \lambda_\infty^2}}$$

и найден комплексный потенциал  $w$  течения в этой области. Тогда с помощью формулы (9) можно найти соответствующую область течения газа Чаплыгина и по первой и третьей из формул (10) построить поля скоростей и плотностей для этого газа. Наклон вектора скорости к вещественной оси, задаваемый углом  $\theta$ , в обоих потоках одинаков.

Выбор угла наклона прямой (4) или, что равнозначно, параметра  $c^2$  можно осуществлять различными способами (см., например, [10, с. 61]). С.А. Чаплыгин заменил адиабатическую зависимость  $\bar{p} = \bar{p}(1/\bar{\rho})$  касательной прямой, проведенной в точке  $\bar{p} = 1$ ,  $\bar{p} = 1$  торможения потока. В этом случае  $A = \kappa$  и  $c^2 = 1/[2(\kappa+1)]$ . Параметр  $c^2$  можно выбирать из условия наилучшей аппроксимации адиабатической зависимости

$$\bar{\rho} = \left[ 1 - \frac{\lambda^2 (\kappa - 1)}{\kappa + 1} \right]^{1/(\kappa-1)} \quad (11)$$

между приведенной скоростью  $\lambda$  и безразмерной плотностью  $\bar{\rho}$  приближенной зависимостью (6). При таком выборе существенен диапазон изменения скоростей  $\lambda$ . В частности, Г.Ю. Степанов (см. [11, п. 24]) предложил универсальное значение  $c^2 = 0.296$ . Расчеты показали, что при этом относительная погрешность формулы (6) по отношению к (11) в диапазоне  $0 < \lambda < 0.89$  составляет всего 2.3%. Если положить  $c = 0$ , то получится модель идеальной несжимаемой жидкости.

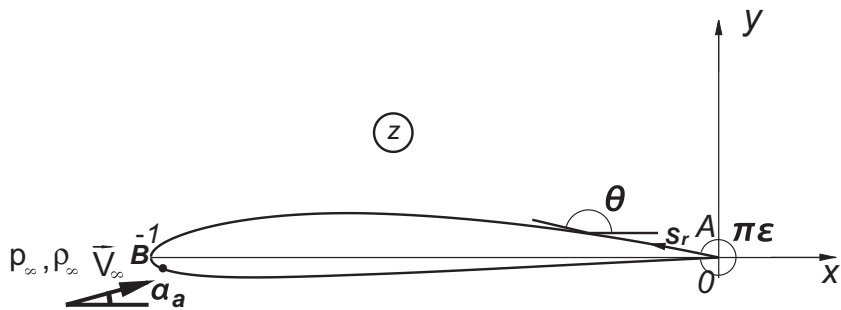


Рис. 1. Течение в физической плоскости (профиль NACA 2411)

## 2. Постановка задачи и сведение ее к нелинейному интегральному уравнению типа уравнения Вилла

Профиль обтекается дозвуковым потоком газа в плоскости  $z = x + iy$ . На бесконечности заданы скорость  $V_\infty$ , давление  $p_\infty$ , плотность  $\rho_\infty$  и угол наклона вектора скорости (угол атаки)  $\alpha_a$  (рис. 1).

Определим число Маха  $M_\infty$  на бесконечности. Для адиабатического течения квадрат скорости звука  $a_\infty^2 = \kappa p_\infty / \rho_\infty$ . Отсюда найдем

$$M_\infty^2 = \frac{V_\infty^2}{a_\infty^2} = \frac{1}{\kappa} \frac{\rho_\infty V_\infty^2}{p_\infty}.$$

Пусть  $V$  – скорость потока,  $a_*$  – критическая скорость звука. Будем искать поле приведенных скоростей  $\vec{\lambda} = \vec{V}/a_* = \lambda_x + i\lambda_y$ . При заданных  $V_\infty$ ,  $p_\infty$  и  $\rho_\infty$  параметр  $a_*$  является физической константой, которую легко найти по известному числу Маха  $M_\infty$ . В дальнейшем будем считать, что  $M_\infty$  задано. Из адиабатического соотношения находим

$$\lambda_\infty = M_\infty \sqrt{\frac{\kappa + 1}{2 + (\kappa - 1) M_\infty^2}}$$

и отсюда определяем  $a_* = V_\infty / \lambda_\infty$ .

Форма профиля задана уравнением

$$\theta = F(s_r), \quad 0 \leq s_r \leq L, \quad (12)$$

где  $\theta$  – угол наклона касательной к профилю,  $s_r$  – дуговая координата, отсчитываемая от острой кромки  $A$  против часовой стрелки,  $L$  – периметр профиля. На рис. 2 показана функция  $F(s_r)$  для профиля NACA 2411.

Точка  $B$  является точкой торможения потока,  $\varepsilon\pi$  – внешний по отношению к профилю угол в острой кромке  $A$  ( $1 < \varepsilon \leq 2$ ). Отметим, что резкие изменения угла наклона касательной  $\theta$  вблизи острой кромки, видимые на рис. 2, для этого профиля действительно имеют место.

Перейдем в область фиктивного течения несжимаемой жидкости  $z_1 = x_1 + iy_1$ . Пусть  $\tilde{\Lambda} = Le^{i\theta}$  – вектор скорости фиктивного течения, а  $w$  – комплексный потенциал в этой области. Тогда  $\frac{dw}{dz_1} = \Lambda e^{-i\theta}$  – комплексно-сопряженная скорость фиктивного течения. Для нахождения поля приведенных скоростей реального течения будем использовать формулы (10), где параметр  $c^2$  выберем равным универсальному значению Г.Ю. Степанова  $c^2 = 0.296$ .

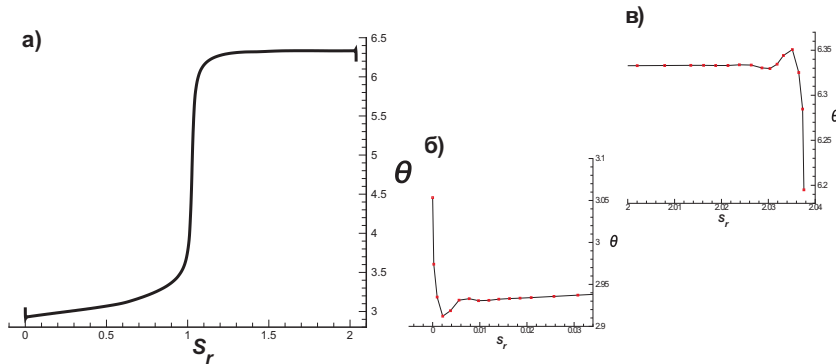


Рис. 2. Функция  $\theta = F(s_r)$  для профиля NACA 2411 (а); поведение функции  $\theta = F(s_r)$  у задней кромки верхней части профиля (б) и нижней части профиля (в)

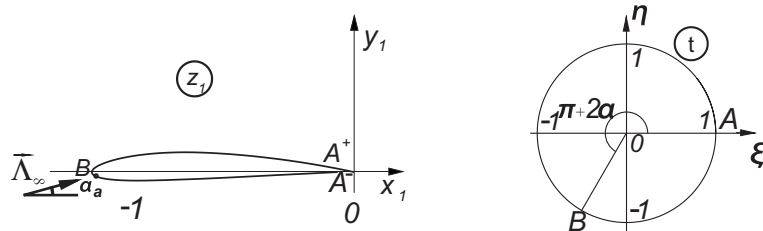


Рис. 3. Область фиктивного течения и каноническая область

Будем искать конформное отображение  $z_1 = z_1(t)$  внешности единичной окружности в плоскости  $t = \xi + i\eta$  на внешность профиля в области фиктивного течения с условиями  $z_1(\infty) = \infty$ ,  $\lim_{\gamma \rightarrow 0+} z_1(e^{i\gamma}) = 0$  (рис. 3).

В плоскости фиктивного течения профиль будет разомкнутым: точке  $A$  в плоскости  $z_1$  соответствуют две точки  $A^+$  и  $A^-$ , с которых сходят две конгруэнтные линии тока, простирающиеся до бесконечности (как в схеме Ву [2]). В самом деле, функция  $dz_1/dt$  является аналитической, поэтому все интегралы от этой функции по замкнутым контурам, охватывающим единичный круг в плоскости  $t$  будут равны между собой. Поэтому линия тока в плоскости  $t$ , отходящая от точки  $A$ , превратится в две конгруэнтные линии в плоскости  $z_1$ . Так как вдоль линий тока выполняется равенство ([13, с. 25])

$$dz = (1 - c^2 \Lambda^2) dz_1, \quad (13)$$

а профиль в физической плоскости  $z$  — замкнутый, то разомкнутость в плоскости  $z$  исчезает, и конгруэнтные линии тока в плоскости  $z_1$  переходят в одну линию в плоскости  $z$ .

Изменение величины  $\theta$  по всему контуру профиля  $\Delta\theta = F(L) - F(0)$ . Тогда имеет место соотношение  $\varepsilon = 3 - \frac{\Delta\theta}{\pi}$ .

Производную  $\frac{dz_1}{dt}$  будем искать в виде

$$\frac{dz_1}{dt} = U_0 \left( \frac{t-1}{t} \right)^{\varepsilon-1} e^{-\Phi(t)}, \quad (14)$$

где  $\Phi(t)$  – аналитическая функция, не имеющая особенностей в канонической области,  $U_0 = \left| \frac{dz_1}{dt}(\infty) \right|$  – постоянная, имеющая размерность длины.

На границе канонической области введем обозначения

$$\Phi(e^{i\gamma}) = \mu(\gamma) + i\tau(\gamma), \quad 0 \leq \gamma \leq 2\pi,$$

где  $\gamma$  – полярный угол. В предлагаемом методе искомой функцией является функция  $\tau(\gamma)$ , для определения которой мы выведем нелинейное интегральное уравнение. Если предположить, что  $\tau(\gamma)$  – известна, то тогда известна реальная часть аналитической функции  $-i\Phi(e^{i\gamma}) = \tau(\gamma) - i\mu(\gamma)$ . Последнюю можно восстановить с помощью формулы Шварца, а затем найти и

$$\Phi(t) = \frac{1}{2\pi i} \int_0^{2\pi} \tau(\gamma) \frac{e^{i\gamma} + t}{e^{i\gamma} - t} d\gamma, \quad (15)$$

причем здесь учтено, что  $U_0 = \left| \frac{dz}{dt}(\infty) \right|$ , и следовательно,  $\operatorname{Re} \Phi(\infty) = 0$ . Из (15) найдем, что связь между функциями  $\tau(\gamma)$  и  $\mu(\gamma)$  дается интегралом Гильберта:

$$\mu(\beta) = -\frac{1}{2\pi} \int_0^{2\pi} \tau(\gamma) \operatorname{ctg} \frac{\gamma - \beta}{2} d\gamma. \quad (16)$$

Теперь определим, как через функцию  $\tau(\gamma)$  выражаются функции  $\theta(\gamma)$  и  $s_r(\gamma)$ . Если в выражении (14) перейти на границу канонической области, то с учетом того, что

$$\frac{dz_1}{d\gamma} = \frac{dz_1}{dt} \frac{dt}{d\gamma} = \frac{dz_1}{dt} ie^{i\gamma},$$

получим

$$\frac{dz_1}{d\gamma} = U_0 \left( 2 \sin \frac{\gamma}{2} \right)^{\varepsilon-1} \exp \left[ i \left( \frac{\pi}{2} - \frac{\gamma}{2} \right) (\varepsilon - 1) + i \left( \frac{\pi}{2} + \gamma \right) - \mu(\gamma) - i\tau(\gamma) \right].$$

Отсюда выводим

$$\theta = \arg \frac{dz_1}{d\gamma} = \varepsilon \frac{\pi}{2} + \frac{\gamma}{2} (3 - \varepsilon) - \tau(\gamma). \quad (17)$$

Комплексный потенциал в канонической области имеет вид

$$w(t) = \varphi_0 \left( e^{-i\alpha} t + \frac{e^{i\alpha}}{t} + 2i \sin \alpha \ln t \right),$$

где  $\alpha$  – теоретический угол атаки (угол атаки относительно линии нулевой подъемной силы), не совпадающий с истинным углом атаки  $\alpha_a$ ,  $\varphi_0$  – постоянная, имеющая размерность потенциала скорости. Тогда

$$\frac{dw}{dt} = \varphi_0 e^{-i\alpha} \frac{t-1}{t^2} \left[ t - e^{i(\pi+2\alpha)} \right], \quad (18)$$

Найдем  $\varphi_0$  и  $\alpha_a$ . Для этого запишем равенство  $\frac{dw}{dz_1} = \frac{dw/dt}{dz_1/dt} = \Lambda e^{-i\theta}$  на бесконечности, в выражениях (14), (15), (18) также устремим  $t$  к бесконечности. В результате получим

$$\varphi_0 = \Lambda_\infty U_0, \quad (19)$$

$$\alpha_a = \alpha - \frac{1}{2\pi} \int_0^{2\pi} \tau(\gamma) d\gamma. \quad (20)$$

При переходе на границу канонической области выражение (18) принимает вид

$$\frac{dw}{dt}(e^{i\gamma}) = -4\varphi_0 ie^{-i\gamma} \cos\left(\frac{\gamma}{2} - \alpha\right) \sin\frac{\gamma}{2}. \quad (21)$$

Воспользуемся тем, что  $\left|\frac{dw}{dz_1}\right| = \left|\frac{dw/dt}{dz_1/dt}\right| = \Lambda(\gamma)$ , тогда, учитывая соотношения (14), (19) и (21), получаем

$$\Lambda(\gamma) = \frac{2\varphi_0}{U_0} \left(2 \sin\frac{\gamma}{2}\right)^{2-\varepsilon} e^{\mu(\gamma)} \left|\cos\left(\frac{\gamma}{2} - \alpha\right)\right|.$$

Из выражения (13) следует, что

$$s_r = U_0 \left[ \int_0^\sigma \left(2 \sin\frac{\gamma}{2}\right)^{\varepsilon-1} e^{-\mu(\gamma)} d\gamma - 4c^2 \Lambda_\infty^2 \int_0^\sigma \left(2 \sin\frac{\gamma}{2}\right)^{3-\varepsilon} \cos^2\left(\frac{\gamma}{2} - \alpha\right) e^{\mu(\gamma)} d\gamma \right]. \quad (22)$$

Подставив (17) и (22) в основное уравнение (12), задающее форму профиля, найдем нелинейное краевое условие, которое должно выполняться для аналитической функции  $\Phi(t)$  на параметрической окружности:

$$\varepsilon\frac{\pi}{2} + \gamma\left(\frac{3-\varepsilon}{2}\right) - \tau(\gamma) = F \left[ U_0 \left[ \int_0^\sigma \left(2 \sin\frac{\gamma}{2}\right)^{\varepsilon-1} e^{-\mu(\gamma)} d\gamma - 4c^2 \Lambda_\infty^2 \int_0^\sigma \left(2 \sin\frac{\gamma}{2}\right)^{3-\varepsilon} \cos^2\left(\frac{\gamma}{2} - \alpha\right) e^{\mu(\gamma)} d\gamma \right] \right]. \quad (23)$$

Учитывая, что периметр данного профиля известен и равен  $L$ , получим условие для определения  $U_0$ :

$$L = U_0 \left[ \int_0^{2\pi} \left(2 \sin\frac{\gamma}{2}\right)^{\varepsilon-1} e^{-\mu(\gamma)} d\gamma - 4c^2 \Lambda_\infty^2 \int_0^{2\pi} \left(2 \sin\frac{\gamma}{2}\right)^{3-\varepsilon} \cos^2\left(\frac{\gamma}{2} - \alpha\right) e^{\mu(\gamma)} d\gamma \right]. \quad (24)$$

Краевое условие (23) превращается в нелинейное интегральное уравнение типа уравнения Вилла [2], если учесть, что связь между функциями  $\tau(\gamma)$  и  $\mu(\gamma)$  дается линейным сингулярным оператором (16) с ядром Гильберта. Тогда (24) – нелинейное функциональное соотношение для определения параметра  $U_0$ . Кроме того, мы имеем интегральное соотношение (20) для отыскания теоретического угла атаки  $\alpha$ . Таким образом, задача сводится к решению системы (16), (20), (23), (24) относительно функции  $\tau(\gamma)$  и параметров  $U_0$ ,  $\alpha$ . Для дискретизации этой системы применялся метод, предложенный в [13] для расчетов кавитационного обтекания профилей.

### 3. Дискретизация системы уравнений

На отрезок  $[0, 2\pi]$  нанесем сетку узлов  $\gamma_i, i = 1, \dots, n; \gamma_1 = 0; \gamma_n = 2\pi$ . Нам потребуется дискретные аналоги линейного функционала

$$\int_0^{2\pi} \lambda(\gamma) d\gamma$$

и оператора Гильберта

$$\mu(\beta) = -\frac{1}{2\pi} \int_0^{2\pi} \lambda(\gamma) \operatorname{ctg} \frac{\gamma - \beta}{2} d\gamma.$$

Пусть  $S_i(\gamma), i = 1, \dots, n$ , – система фундаментальных кубических сплайнов, построенная на сетке  $\gamma_i$  с граничными условиями типа “not-a-knot” [14]. Фундаментальный кубический сплайн  $S_i(\gamma)$  – это сплайн, значения которого во всех узлах равны 0, кроме узла с номером  $i$ , в котором  $S_i(\gamma_i) = 1$ . Системой фундаментальных сплайнов будем пользоваться для приближенного вычисления интегралов. Имеем

$$\lambda(\gamma) \approx \sum_{i=1}^n \lambda_i S_i(\gamma), \quad \int_0^{\gamma_i} \lambda(\gamma) d\gamma \approx \sum_{j=1}^n \left( \int_0^{\gamma_i} S_j(\gamma) d\gamma \right) \lambda_j.$$

Тогда

$$\int_0^{\gamma_i} \lambda(\gamma) d\gamma \approx \sum_{j=1}^n A_{ij} \lambda_j, \quad \text{где } A_{ij} = \int_0^{\gamma_i} S_j(\gamma) d\gamma.$$

Численно коэффициенты матрицы  $A_{ij}$  вычисляются следующим образом. Возьмем вектор  $\vec{\delta}_j = (0, 0, 0, \dots, 1, \dots, 0, 0)$  (единица находится на  $j$ -том месте). На значениях этого вектора строим кубический сплайн  $S_j(\gamma)$  [14]. Интегрируем этот сплайн аналитически по рекуррентной формуле

$$A_{1j} = 0, \quad A_{i+1j} = A_{ij} + \int_{\gamma_i}^{\gamma_{i+1}} S_j(\gamma) d\gamma, \quad i = 1, \dots, n-1.$$

Тем самым находим  $j$ -й столбец матрицы  $A_{ij}$ . Пусть  $a_j = A_{nj}, j = 1, \dots, n$ . Тогда

$$\int_0^{2\pi} \lambda(\gamma) d\gamma \approx \sum_{j=1}^n a_j \lambda_j. \quad (25)$$

Кроме того, с помощью фундаментальных сплайнов аналогичным образом построим матрицу для дифференцирования

$$\lambda'(\gamma_i) = \lambda'_i \approx \sum_{j=1}^n d_{ij} \lambda_j, \quad d_{ij} = S'_j(\gamma_i).$$

Оператор Гильберта дискретизируется формулой

$$\mu(\gamma_i) \approx \sum_{j=1}^n H_{ij} \lambda_j,$$

где  $H_{ij}$  – коэффициенты квадратной матрицы, которые находятся следующим образом.

Представим оператор Гильберта в виде

$$\mu(\beta) = -\frac{1}{2\pi} \int_0^{2\pi} [\lambda(\gamma) - \lambda(\beta)] \operatorname{ctg} \frac{\gamma - \beta}{2} d\gamma$$

и учтем, что

$$\lim_{\gamma \rightarrow \beta} [\lambda(\gamma) - \lambda(\beta)] \operatorname{ctg} \left( \frac{\gamma - \beta}{2} \right) = 2\lambda'(\beta).$$

Теперь подынтегральное выражение не содержит особенностей, и интеграл может быть вычислен по формуле (25). Приходим к следующим соотношениям.

Если  $i \neq 1, i \neq n$ , то

$$\mu(\gamma_i) \approx -\frac{1}{2\pi} \left[ \sum_{j=1, j \neq i}^n a_j \operatorname{ctg} \left( \frac{\gamma_j - \gamma_i}{2} \right) \lambda_j + 2a_i \sum_{j=1}^n d_{ij} \lambda_j - \lambda_i \sum_{j=1, j \neq i}^n a_j \operatorname{ctg} \left( \frac{\gamma_j - \gamma_i}{2} \right) \right].$$

Если  $i = 1$ , то

$$\mu(\gamma_1) \approx -\frac{1}{2\pi} \left[ \sum_{j=2}^{n-1} a_j \operatorname{ctg} \frac{\gamma_j}{2} \lambda_j + 2a_1 \sum_{j=1}^n d_{1j} \lambda_j + 2a_n \sum_{j=1}^n d_{nj} \lambda_j - \lambda_1 \sum_{j=2}^{n-1} a_j \operatorname{ctg} \frac{\gamma_j}{2} \right].$$

В последней формуле учтено, что  $\lambda'(0) \neq \lambda'(2\pi)$ , а значит,

$$\lambda'(0) \approx \sum_{j=1}^n d_{1j} \lambda_j, \quad \lambda'(2\pi) \approx \sum_{j=1}^n d_{nj} \lambda_j.$$

Если  $i = n$ , то

$$\mu(\gamma_n) = \mu(\gamma_1)$$

в силу условия  $\mu(0) = \mu(2\pi)$ .

Собираем коэффициенты при  $\lambda_j$  в каждой строке с номером  $i$ , в итоге для  $H_{ij}$  получим соотношения:

$$H_{11} = -\frac{1}{2\pi} \left[ 2(a_1 d_{11} + a_n d_{n1}) - \sum_{j=2}^{n-1} a_j \operatorname{ctg} \frac{\gamma_j}{2} \right], \quad H_{1n} = -\frac{1}{\pi} (a_1 d_{1n} + a_n d_{nn}),$$

$$H_{1j} = -\frac{1}{2\pi} \left[ 2(a_1 d_{1j} + a_n d_{nj}) + a_j \operatorname{ctg} \frac{\gamma_j}{2} \right], \quad j = 2, \dots, n-1,$$

$$H_{ij} = -\frac{1}{2\pi} \left[ 2a_i d_{ij} + a_j \operatorname{ctg} \left( \frac{\gamma_j - \gamma_i}{2} \right) \right], \quad i = \overline{2, n-1}, \quad j = 1, \dots, n, \quad i \neq j,$$

$$H_{ii} = -\frac{1}{2\pi} \left[ 2a_i d_{ii} - \sum_{j=1, j \neq i}^n a_j \operatorname{ctg} \left( \frac{\gamma_j - \gamma_i}{2} \right) \right], \quad i = \overline{2, n-1}, \quad j = \overline{1, \dots, n}, \quad i = j,$$

$$H_{nj} = H_{1j}, \quad j = 1, \dots, n.$$

В дискретной форме уравнения (20), (23), (24) примут вид:

$$\alpha_a = \alpha - \frac{1}{2\pi} \sum_{j=1}^n a_j \tau_j, \quad (26)$$

$$\varepsilon \frac{\pi}{2} + \left( \frac{3-\varepsilon}{2} \right) \gamma_i - \tau_i = F \left[ U_0 \left[ \sum_{k=1}^n A_{ik} \left[ \left( 2 \sin \frac{\gamma_k}{2} \right)^{\varepsilon-1} \exp \left( - \sum_{j=1}^n H_{kj} \tau_j \right) - \right. \right. \right. \\ \left. \left. \left. - 4c^2 \Lambda_\infty^2 \cos^2 \left( \frac{\gamma_k}{2} - \alpha \right) \left( 2 \sin \frac{\gamma_k}{2} \right)^{3-\varepsilon} \exp \left( \sum_{j=1}^n H_{kj} \tau_j \right) \right] \right] \right]. \quad (27)$$

$$L = U_0 \left[ \sum_{k=1}^n a_k \left[ \left( 2 \sin \frac{\gamma_k}{2} \right)^{\varepsilon-1} \exp \left( - \sum_{j=1}^n H_{kj} \tau_j \right) - \right. \right. \\ \left. \left. - 4c^2 \Lambda_\infty^2 \cos^2 \left( \frac{\gamma_k}{2} - \alpha \right) \left( 2 \sin \frac{\gamma_k}{2} \right)^{3-\varepsilon} \exp \left( \sum_{j=1}^n H_{kj} \tau_j \right) \right] \right]. \quad (28)$$

Получили систему (26)–(28) из  $n+2$  уравнений относительно  $n+2$  неизвестных:  $\alpha$ ,  $U_0$ ,  $\tau_j$ ,  $j = 1, \dots, n$ . Эта система решалась численно методом Ньютона, при чем квадратурные коэффициенты  $A_{ij}$ ,  $H_{ij}$  вычисляются до начала итераций. Вид системы (26)–(28) позволяет на каждом шаге итерационного процесса заполнять якобиан системы аналитически, что является основным ресурсом экономии машинного времени. Неравномерная сетка узлов  $\gamma_i$  строилась следующим образом. Исходный профиль задается в виде дискретного множества точек  $x_i$ ,  $y_i$ ,  $i = 1, \dots, n$  (последняя точка совпадает с первой). С помощью численного конформного отображения внешности профиля на внешность круга единичного радиуса эти точки переводятся в точки  $\gamma_i$  параметрической окружности. Тем самым определяется сетка  $\gamma_i$  и находится нулевое приближение

$$\tau_i^0 = \varepsilon \frac{\pi}{2} + \frac{\gamma_i}{2} (3 - \varepsilon) - \theta_i, \quad i = \overline{1, \dots, n},$$

где  $\theta_i$  – известные углы наклона касательной в точках  $x_i$ ,  $y_i$ . Это нулевое приближение в случае  $c = 0$  (несжимаемой жидкости) будет удовлетворять системе (26)–(28) с очень высокой точностью, определяемой ошибками дискретизации и численного конформного отображения.

#### 4. Результаты числовых расчетов

На рис. 4 показаны распределения приведенных скоростей  $\lambda$  по профилю NACA 2411, рассчитанные при различных числах Маха на бесконечности и различных углах атаки  $\alpha_a$ . Расчеты были проведены по модели газа Чаплыгина (сплошные линии) с помощью CFD пакета FLUENT (пунктирная линия) и по формуле Кармана–Дзяна (штриховая линия). Из приведенных графиков видно, что в докритическом диапазоне чисел Маха все три подхода дают очень близкие распределения. Отличия наблюдаются лишь для критических значений чисел Маха на бесконечности. Совершенно аналогичные результаты были получены для профилей NACA 0012 и KLARK K.

Отметим, что формула Кармана–Дзяна также выводится в предположениях газа Чаплыгина, однако при ее выводе не учитываются различия между формами профилей в фиктивном потоке и физической плоскости. Наши численные эксперименты показывают, что для реальных профилей эти различия крайне незначительны, поэтому неудивительно, что формула Кармана–Дзяна дает результат, близкий к полной модели газа Чаплыгина.

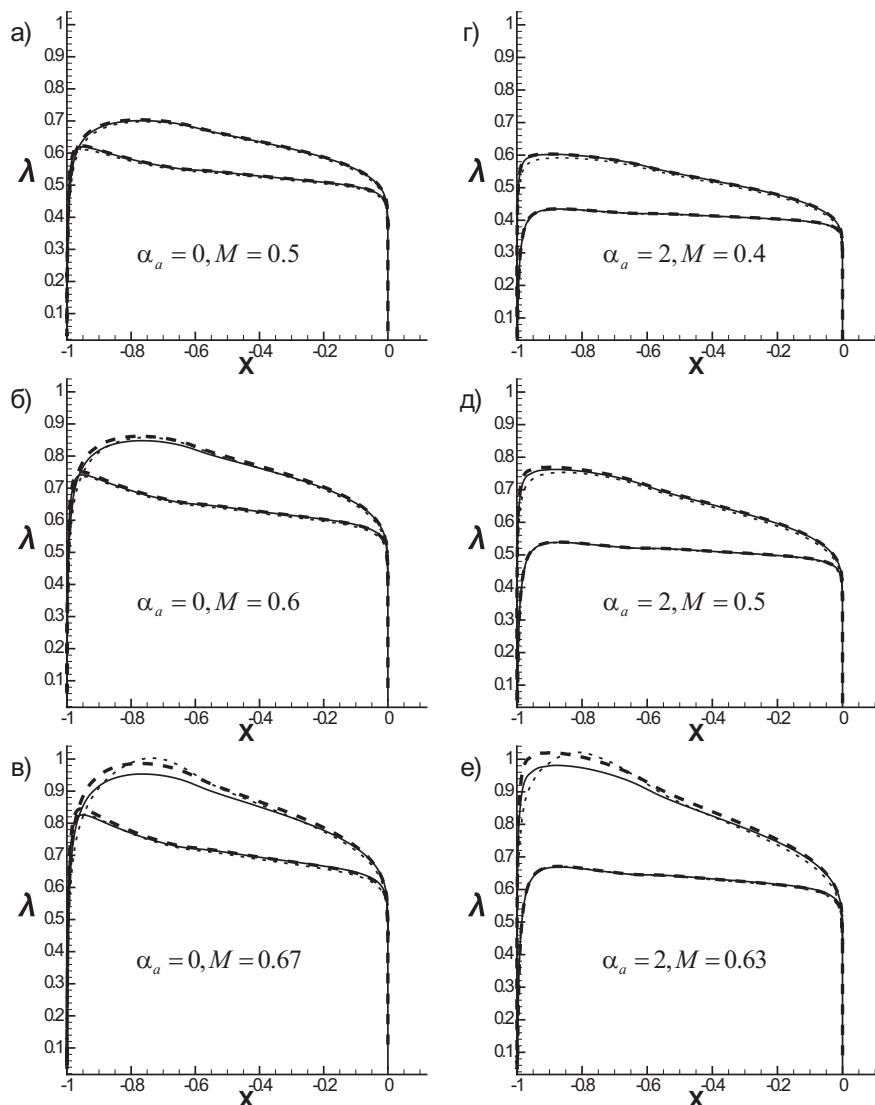


Рис. 4. Распределения приведенной скорости по профилю NACA 2411

Укажем также, что расчет во FLUENT на уже построенной сетке одного распределения приведенной скорости занимает около 3 мин, в то время как расчет по полной модели газа Чаплыгина и по формуле Кармана–Дзяна занимает не более 3 с.

Работа выполнена при финансовой поддержки РФФИ (проект № 12-01-00996, 12-01-00333).

### Summary

*E. M. Kotlyar, D. V. Maklakov. Flow past a Profile of a Given Shape in the Chaplygin Gas.*

In the paper, the problem of a subsonic continuous flow past a profile of a given shape is investigated. The problem is reduced to a nonlinear Villa-type integral equation, which after discretization is solved by Newton's method. It is shown that the velocity distributions

computed using the Chaplygin gas model, the Karman – Tsien formula and the CFD Fluent package are very close to each other in the subsonic range of Mach numbers.

**Key words:** subsonic flows, Chaplygin equations, Chaplygin gas, Villa's equation, discretization, Newton's method.

#### Литература

1. Чаплыгин С.А. О газовых струях // Чаплыгин С.А. Полн. собр. соч. – Л.: АН СССР, 1933. – Т. 2. – С. 3–90.
2. Гуревич М.И. Теория струй идеальной жидкости. – М.: Наука, 1979. – 536 с.
3. Сунгурцев Ю.В. Плоские струйные течения газа. – М.: Изд-во Моск. ун-та, 1989. – 256 с.
4. Тумашев Г.Г. Нахождение формы профиля по заданному распределению скорости с учетом сжимаемости жидкости // Изв. Казан. физ.-матем. о-ва. Сер. 2. – 1945. – Т. 13. – С. 127–132.
5. Тумашев Г.Г. Определение формы границ потока жидкости по заданному распределению скорости или давления // Учен. зап. Казан. ун-та. – 1952. – Т. 112, кн. 3. – С. 3–41.
6. Тумашев Г.Г., Нуэсин М.Т. Обратные краевые задачи и их приложения. – Казань: Изд-во Казан. ун-та, 1965. – 333 с.
7. Woods L.C. The theory of subsonic plane flow. – Cambridge: Cambridge Univ. Press, 1961. – 594 р.
8. Седов Л.И. Плоские задачи гидродинамики и аэrodинамики. – М.: Наука, 1980. – 448 с.
9. Daripa P.K., Sirovich L. Exact and approximate gas dynamics using the tangent gas // J. Comp. Phys. – 1986. – V. 62, No 2. – P. 400–413.
10. Елизаров А.М., Ильинский Н.Б., Поташев А.В. Обратные краевые задачи аэро-гидродинамики: теория и методы проектирования и оптимизации формы крыловых профилей. – М.: Физматлит, 1994. – 436 с.
11. Степанов Г.Ю. Гидродинамика решеток турбомашин. – М.: Физматгиз, 1962. – 512 с.
12. Елизаров А.М., Касимов А.Р., Маклаков Д.В. Задачи оптимизации формы в аэро-гидродинамике. – М.: Физматлит, 2008. – С. 18–29.
13. Маклаков Д.В. Нелинейные задачи гидродинамики потенциальных течений со свободными границами. – М.: Янус-К, 1997. – 281 с.
14. de Boor C. A Practical Guide to Splines. – Berlin; Heidelberg; N. Y.: Springer-Verlag, 1978. – 346 р.

Поступила в редакцию  
25.11.11

---

**Котляр Евгения Михайловна** – аспирант кафедры аэрогидромеханики Казанского (Приволжского) федерального университета.

E-mail: *Kem-vgik@mail.ru*

**Маклаков Дмитрий Владимирович** – доктор физико-математических наук, профессор кафедры аэрогидромеханики Казанского (Приволжского) федерального университета.

E-mail: *Dmitri.Maklakov@ksu.ru*